

應用光學與光學設計

下 冊

甘曉天 袁昌 許全等編

內部教材

北京工業學院

1962.12

目 录

第三部分 光学系統設計

第十章 光路計算

§ 84	光路計算的目的和方法.....	1
§ 85	近軸光線的計算公式.....	1
§ 86	子午面內光線的計算公式.....	2
§ 87	細光束象散的計算.....	3
§ 88	波色差計算.....	8
§ 89	象差的曲線表示.....	9

第十一章 望远系統

§ 90	望远系統的基本类型及光学特性.....	15
§ 91	望远系統的物鏡.....	17
§ 92	望远系統的目鏡.....	19
§ 93	轉象系統.....	23
§ 94	场鏡.....	24
§ 95	棱鏡及其展开.....	25
§ 96	棱鏡的初級象差.....	27
§ 97	換算棱鏡为空气层.....	28
§ 98	可变放大率系統.....	30
§ 99	望远系統的外形尺寸計算.....	34
§100	象差的綜合.....	38

第十二章 望远物鏡和目鏡的設計

§101	双胶物鏡矫正象差的可能性.....	44
§102	斯留薩列夫的設計表格.....	44
§103	双胶物鏡的設計步驟.....	50
§104	双胶物鏡的設計舉例.....	54
§105*	双胶物鏡的初級象差特性.....	56
§106	目鏡設計.....	58

第十三章 反射和折反射望远鏡

§107	反射望远鏡的特性及其主要形式.....	61
§108	反射望远鏡的計算.....	63

§109	折反射系統和补偿鏡的类型.....	67
§110	斯米特 (Schmidt) 校正板的計算.....	68
§111	馬克苏托夫弯月鏡的設計.....	71
§112	远焦双透鏡补偿鏡的設計.....	74

第十四章 放大鏡和显微鏡

§113	放大鏡的基本性质.....	78
§114	对放大鏡的象差要求 放大鏡的基本类型.....	79
§115	显微系統的基本性质.....	80
§116	显微鏡物空間的焦点深度.....	83
§117	对显微物鏡的象差要求.....	84
§118	等光程球面及其在显微物鏡中的应用.....	85
§119	显微物鏡的基本类型.....	87
§120	配合法和里斯特物鏡設計.....	90
§121	显微鏡的目鏡和照明器.....	94

第十五章 照相物鏡

§122	照相物鏡概述.....	96
§123	照相物鏡的基本結構.....	97
§124	照相物鏡复杂化的方法.....	99
§125	照相物鏡的类型.....	102
§126	連續变焦的照相物鏡.....	109
§127	对称物鏡的設計方法.....	111
§128	远焦物鏡的設計.....	117

第十六章 光譜仪器

§129	光譜仪器概述.....	125
§130	在棱鏡主截面內光綫的折射.....	126
§131	光譜棱鏡的性质.....	127
§132	棱鏡的材料.....	129
§133	棱鏡的形式和光譜仪器的光学系統.....	130

第十七章 非球面及其在光学系統中的应用

§134	非球面的形成和确定.....	133
§135	子午截綫为任意曲綫的非球面光路計算.....	134
§136	与球面相差很小的非球面的計算.....	137
§137	非球面細光束象散的計算.....	141
§138	按照光程計算折射系統的非球面.....	144
§139	非球面在光学系統中的应用实例.....	145

第十八章 光学零件的技术条件

§140 光学零件尺寸标注.....	148
§141 对零件质量的要求.....	156
§142 玻璃品种选择和对玻璃材料的要求.....	161
§143 光学系统性能的容许误差.....	165
§144 对光学零件图、部件图和系统图的要求.....	168

附录 I 双胶物鏡設計图表

附录 II 玻璃目录表

第十章 光路計算

§84 光路計算的目的和方法

实际光学系統的成象不可能全乎理想，也就是說有象差存在。为鉴定光学系統的成象质量，必須知道实际光綫通过光学系統后的分布情况。光路計算的目的就是利用計算的方法，确定实际光綫在光学系統中，和通过光学系統后的位置，实际光綫通过光学系統之后和理想象点間的差异就是象差，根据象差的大小即能鉴定光学系統的成象质量好坏。

光路計算目前在光学設計中占有重要的地位，光学設計中绝大部分工作量是进行光路計算。因为目前在光学設計中尚无法根据代数求解的方法确定出光学系統最后的結構参数（曲率半径、間隔和折射率）。必須依靠光路計算才能确定出实际光学系統的成象质量，然后利用逐次修改的方法，达到完善的結果。但是任何一个参数改变以后，都必須重新进行光路計算。

光路計算目前多数应用对数表或計算机进行，在大多数情况下使用五位对数就能滿足要求，但是当計算无焦距光学系統（高倍率望远鏡物鏡，天文物鏡）或大口径的光学系統（高倍率的顯微鏡物鏡），最好使用六位对数表，当焦距在一米以上时，應該使用七位对数表。为了及时发现計算中的錯誤，避免大量返工，在計算的同时往往用驗算公式进行驗算，或由二人同时計算进行校对。近年来由于計算技术的发展，各国均开始采用电子計算机进行光学設計，这样不仅可以节省很多的工作量，而且能加快光学設計的速度。

光路的三角計算公式，各國所采用的雖說有一些不同，但是从計算速度上来讲，并沒有很大的差別。无论是計算公式或計算工具都还有可以改进的地方。下面我們介紹苏联計算常用的一些計算公式。

§85 近軸光綫的計算公式

近軸光学中曾經談到近軸光綫通球面折射时适合下列公式：

$$n'u' - nu = \frac{h}{R}(n' - n)$$

式中 u , u' 乃光綫在折射前和折射后的会聚角， n , n' 乃折射面二邊介质的折射率， R 为球面半径， h 乃光綫投射点的高度。

为了計算由任意个折射球面組成的共軸系統，必須找出由第 K 个面到第 $K+1$ 个面的过渡公式，显然下面的关系成立：

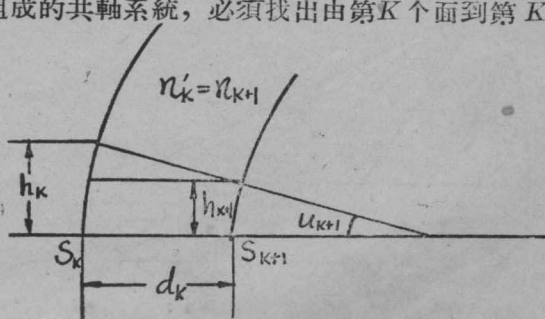


图 (136)。

$$n'_K u'_K = n_{K+1} u_{K+1}, \quad n'_K = n_{K+1}$$

对于第K个折射面可以写出：

$$n_{K+1} u_{K+1} - n_K u_K = \frac{h_K}{R_K} (n_{K+1} - n_K) \quad (1)$$

由图(136)得到：

$$h_{K+1} = h_K - d_K \cdot u_{K+1} \quad (2)$$

重复应用上面公式可由给定的 h_1 、 u_1 求得最后折射面的 h_K ； $u'_K = u_{K+1}$ 。为了求出光线和光轴的交点到球面顶点的距离可应用下列公式：

$$S'_{OK} = \frac{h_K}{u_{K+1}}$$

当光线平行光轴入射时 $u_1 = 0$ ，至于入射高 h_1 ，根据近轴光线成像的性质，无论 h 采取任何值，不会影响到出射光线和光轴交点的位置，因此，可以任意选定，为了便于和实际边缘光线进行比较，一般采用边缘光线的入射高。平行光线通过系统后和光轴相交，交点即为系统的象方焦点，对应的焦距由下式计算：

$$f'_0 = \frac{h_1}{u_{K+1}}$$

设光线通过光轴上一点A，A点和第一个折射球面的顶点距离为 S_1 ，光线和光轴间的夹角为 u_1 ，则入射高 h_1 ，显然可由下式计算：

$$h_1 = S_1 \cdot u_1$$

u_1 同样可以采取任何值，实际计算表格和计算实例如表(一)所示。

§86 子午面内光路的计算公式

位在通过共轴系统光轴的截平面内的光线，也就是说子午面内的光线，由于共轴系统的对称性，其折射光线永远位在同一平面内。计算这样的光线，只是一个平面几何和三角的问题，因而较为简单，至于位在子午面外的光线，由于入射和折射光线不位在同一平面内，计算上便比较复杂，这样的光线计算应用较少。下面只介绍子午面内光路的计算公式。

光路计算的目的既是确定光线的位置，因此必须首先选择确定光线位置的坐标，选择的坐标不同，计算公式的形式改变。我们以光线和光轴的交点到球心的距离 q 及光线和光轴的交角 u 作为确定光线位置的坐标。光线经过球面折射后，相应的折射光线位置，系用 q' 和 u' 确定。

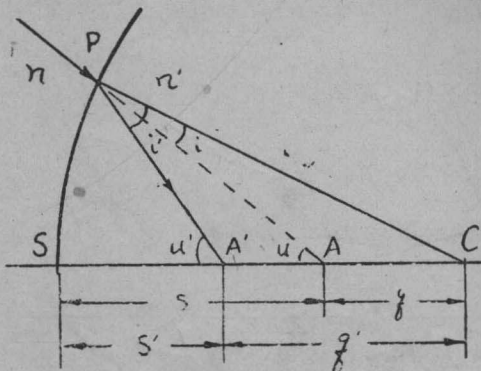


图 (137)

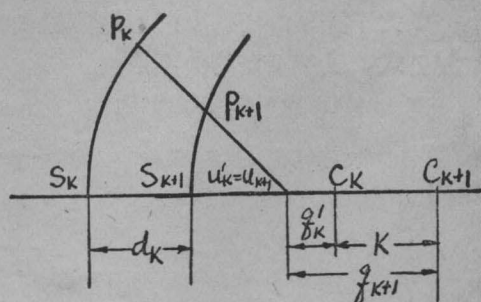


图 (138)

在图(137)中设 OO_1 为共軸系統的光軸, PA 为入射光綫; C 为折射球面的球心; 球面半径 $SC = R$; $AC = q$ 。

由 $\triangle APC$ 得到:

$$\sin i = \frac{AC}{PC} \sin u = \frac{q}{R} \sin u \quad (1)$$

按照折射定律:

$$\sin i' = \frac{n}{n'} \sin i \quad (2)$$

u' 乃 $\triangle A'PA$ 的外角, 故有:

$$u' = u + i' - i \quad (3)$$

由 $\triangle A'PC$ 得到:

$$q' = \frac{R \sin i'}{\sin u'} \quad (4)$$

依次应用以上四个公式, 即可由入射光綫的 q 、 u 計算出折射光綫的 q' 、 u' 。

为計算光綫通过整个共軸系統的光路, 尚須由第 K 个面的 q'_K 、 u'_K , 求出第 $K+1$ 个面的 q_{K+1} 、 u_{K+1} , 由图(138)得到:

$$q_{K+1} = q'_K + K$$

$$K = R_{K+1} + d_K - R_K$$

$$u_{K+1} = u'_K$$

至于第一个折射面的 q_1 , 如給出光綫和光軸交点到球面頂点的距离 S_1 , 則由图(137)得到:

$$q_1 = R_1 - S_1$$

同理, 如果求得了 q'_K , 則由下式即可求得經過第 K 面后的光綫和光軸的交点到球面頂点的距离 S'_K , 即:

$$S'_K = R_K - q'_K$$

如果光綫平行于光軸入射, 則 $q = \infty$, $u = 0$, 上面公式无法应用。假定平行光綫的入射高为 h , 由图(139)中 $\triangle PCD$ 得到:

$$\sin i = -\frac{h}{R}$$

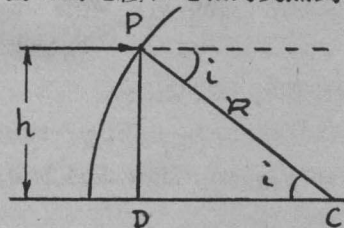


图 (139)

利用上面公式即可計算出任意給定的光綫通过共軸系統后的位置。适合于对数計算的上面公式的排列表格, 及計算实例如表(二)所示。

§87 細光束象散的計算

在单色象差一章中我們已經导出了細光束象散的計算式, 但是上述公式在应用时不太方便, 下面我們导出另一种公式。

一) 弧矢光束

在图(140)中, 设 OM 为折射球面, C 为球心; MQ 和 MQ' 乃入射和折射細光束的主光綫; P , P' 乃細光束的弧矢光綫焦点, 它們与 C 位在同一直綫上。 P , P' 点的位置由坐标 S_s , Y_s ; 和 S'_s , Y'_s 确定。图中 $MP = t_s$, $MP' = t'_s$; $\psi = PCM$; M 至光軸的距离等于 h 。

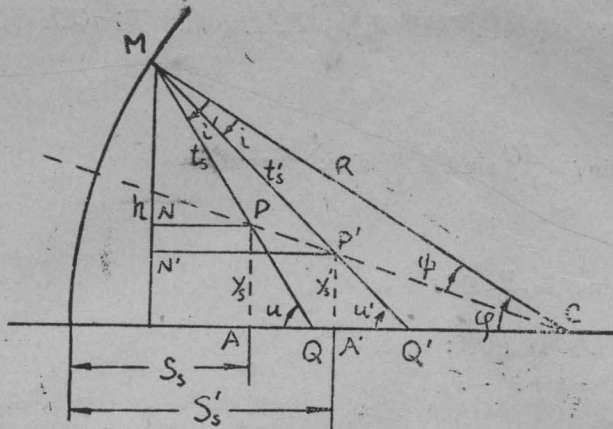


图 (140)

从图 (140) 得到:

$$t_s = \frac{PC \cdot \sin \psi}{\sin i}; \quad t'_s = \frac{P'C \cdot \sin \psi}{\sin i'} \quad (1)$$

由 $\triangle APC, \triangle A'P'C$ 得到:

$$\left. \begin{array}{l} PC = y_s \operatorname{cosec}(\varphi - \psi) \\ P'C = y'_s \operatorname{cosec}(\varphi - \psi) \end{array} \right\} \quad (2)$$

由 $\triangle MPN$ 和 $\triangle MP'N'$ 得到:

$$\left. \begin{array}{l} h - y_s = t_s \cdot \sin u \\ h - y'_s = t'_s \cdot \sin u' \end{array} \right\} \quad (3)$$

应用前面两组公式求出 t_s 和 t'_s 代入上式, 相除, 则得:

$$\frac{h - y_s}{h - y'_s} = \frac{y_s \cdot \sin u' \cdot \sin i'}{y'_s \cdot \sin u' \cdot \sin i}$$

按照折射定律将上式写作:

$$(h - y_s) n' y'_s \cdot \sin u' = (h - y'_s) n y_s \cdot \sin u$$

用乘积 $h n n' y_s y'_s \sin u \sin u'$ 除其两边得到:

$$\frac{1}{n' y'_s \sin u'} - \frac{1}{n y_s \sin u} = \frac{n' \sin u' - n \sin u}{h n n' \sin u \sin u'}$$

注意到 $u = \varphi + i$ 和 $u' = \varphi + i'$, 则有:

$$\begin{aligned} & n' \sin u' - n \sin u \\ &= n' \sin(\varphi + i') - n \sin(\varphi + i) \\ &= n' \sin \varphi \cos i' + n' \cos \varphi \sin i' - n \sin \varphi \cos i - n \cos \varphi \sin i \\ &= (n' \cos i' - n \cos i) \sin \varphi \end{aligned}$$

因为 $h = R \sin \varphi$, 于是得到:

$$\frac{1}{n' y'_s \sin u'} - \frac{1}{n y_s \sin u} = -\frac{n' \cos i - n \cos i}{R n n' \sin u \sin u'}$$

$$n' \cos i - n \cos i = \frac{n \sin(i - i')}{\sin i'} = -\frac{n \sin(i' - i)}{\sin i'}$$

則上式变为：

$$\frac{1}{n'y'_s \sin u'} - \frac{1}{ny_s \sin u} = \frac{\sin(i' - i)}{Rn' \sin i' \sin u \sin u'}$$

设 $\frac{\sin(i' - i)}{Rn' \sin i' \cdot \sin u \cdot \sin u'} = P$

則对于第 k 个折射面有：

$$\left. \begin{aligned} \frac{1}{n'_k y'_{s_k} \sin u'_k} - \frac{1}{n_k y_{s_k} \sin u_k} &= P_k \\ P_k &= \frac{\sin(i'_k - i_k)}{R_k n'_k \sin i'_k \cdot \sin u_k \cdot \sin u'_k} \end{aligned} \right\} \quad (4)$$

如果系統中包括 p 个折射面时，則从第一个面到第 p 个面可依次写出：

$$\frac{1}{n'_1 y'_{s_1} \sin u'_1} - \frac{1}{n_1 y_{s_1} \sin u_1} = P_1$$

$$\frac{1}{n'_2 y'_{s_2} \sin u'_2} - \frac{1}{n_2 y_{s_2} \sin u_2} = P_2$$

.....

$$\frac{1}{n'_p y'_{s_p} \sin u'_p} - \frac{1}{n_p y_{s_p} \sin u_p} = P_p$$

对于任一个折射面均有：

$$n'_k = n_{k+1}; \quad y'_k = y_{k+1}; \quad u'_k = u_{k+1}$$

因而，将上列方程相加得到：

$$\begin{aligned} \frac{1}{n'_p y'_{s_p} \sin u'_p} - \frac{1}{n_1 y_{s_1} \sin u_1} &= \sum_{h=1}^{h=p} P_h \\ P_k &= \frac{\sin(i'_k - i_k)}{R_k n'_k \sin i'_k \sin u_k \sin u'_k} \\ &= \frac{(n_k - n'_k) \cos \frac{1}{2}(i'_k - i_k)}{n_k \cdot n'_k R_k \cos \frac{1}{2}(i'_k + i_k) \sin u_k \sin u'_k} \end{aligned}$$

设

$$P_0 = \frac{1}{n_1 y_{s_1} \sin u_1}$$

从第一式得到：

$$\begin{aligned} \frac{1}{n'_p y'_{s_p} \sin u'_p} &= P_0 + \sum_{h=1}^{h=p} P_h \\ y'_{s_p} &= \frac{1}{\left(P_0 + \sum_{h=1}^{h=p} P_h \right) \sin u'_p}; \quad n'_p = 1 \end{aligned}$$

由图(141)，有：

$$p'_s = \frac{y'_{s_p}}{\tan u'_p}$$

$$x'_s = (S'_p, -S'_0) - p'_s =$$

$$= (S'_P, -S'_0) - \frac{y'_{sp}}{\tan u'_P}$$

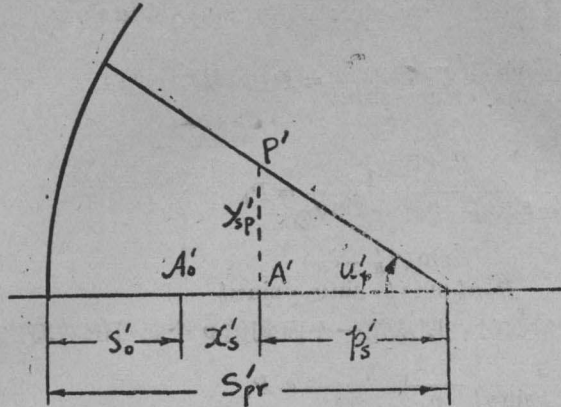


图 (141)

二) 子午光束

在图(142)中: MS 、 MS' 乃入射和折射細光束的主光綫, C 为球面中心。从 C 点做細主光綫的垂綫 CQ 和 CQ' ; 并从折射前和折射后的子午光綫的焦点 P 、 P' 直綫 PT 和 $P'T'$ 平行于光軸。

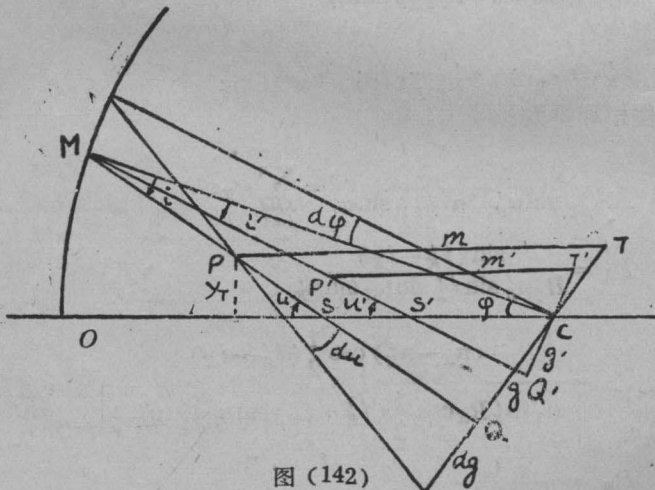


图 (142)

设 $PT = m$, $P'T' = m'$, $CQ = g$, $CQ' = g'$ 。同时用 R 表示折射面的半径, i 和 i' 表示入射和折射角, 则得到:

$$g = R \sin i; \quad g' = R \sin i'$$

用 n 乘第一式, n' 乘第二式, 然后应用折射定律得到:

$$ng = n'g'$$

因而: $ndg = n'dg'$

从上面两式得到:

$$\frac{g}{dg} = \frac{g'}{dg'}$$

用 $d\varphi$ 乘上式两边, 并利用关系式:

$$d\varphi = du - di = du' - di'$$

得到:

$$\frac{gdu}{dg} - \frac{gd'i}{dg} = \frac{g'du'}{dg'} - \frac{g'd'i'}{dg'} \quad (1)$$

如果用 S 和 S' 表示线段 OS 和 OS' 的长度, 则从图 (142) 得到:

$$CQ = g = (R - S) \sin u = q \sin u$$

$$CQ' = g' = (R - S') \sin u' = q' \sin u'$$

此外:

$$\frac{dg}{du} = PQ = m \cdot \cos u$$

$$\frac{dg'}{du'} = P'Q' = m' \cos u'$$

将上面关系代入公式(1)得到:

$$\frac{q \sin u}{m \cos u} - \tan i = \frac{q' \sin u'}{m' \cos u'} - \tan i'$$

如果 m 已知, 则可利用上式计算 m' , 对于第 k 个折射面可以写出:

$$m'_k = \frac{q'_k \cdot \tan u'_k}{\frac{q_k \cdot \tan u_k}{m_k} + \frac{\sin(i'_k - i_k)}{\cos i_k \cdot \cos i'_k}}$$

从第 k 个表面过渡到第 $k+1$ 个表面时:

$$m_{k+1} = m'_k + K$$

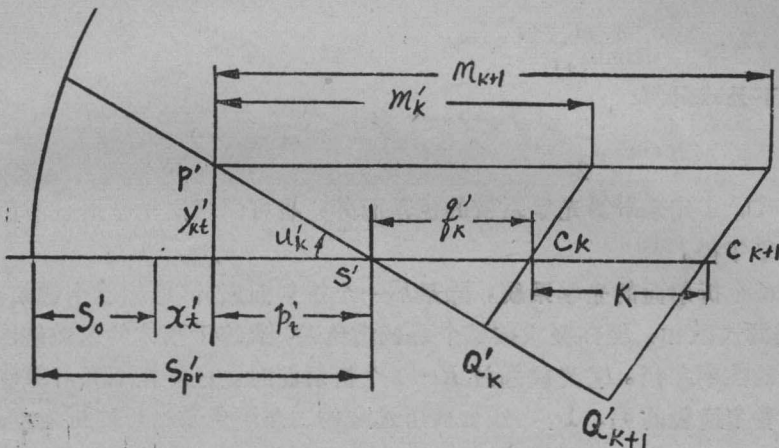


图 (143)

另外, 从图形得到:

$$P'S' = m'_k \cos u'_k - q'_k \cos u'_k \\ = (m'_k - q'_k) \cos u'_k$$

$$y'_{kt} = P'S' \cdot \sin u'_k \\ = (m'_k - q'_k) \cos u'_k \cdot \sin u'_k$$

$$p'_t = \frac{y'_{kt}}{\tan u'_k}$$

$$x'_k = (S'_{pr} - S'_o) - q'_k$$

§88 波色差計算

在色差中我們得出利用光程差表示的色差公式:

$$W_{FC} = \Sigma(d - D)\delta n$$

為計算以上色差值,只須求出光線在各个透鏡中的傾斜厚度 D ,則很容易就能求得 W_{FC} 。以下我們導出計算 D 的公式。

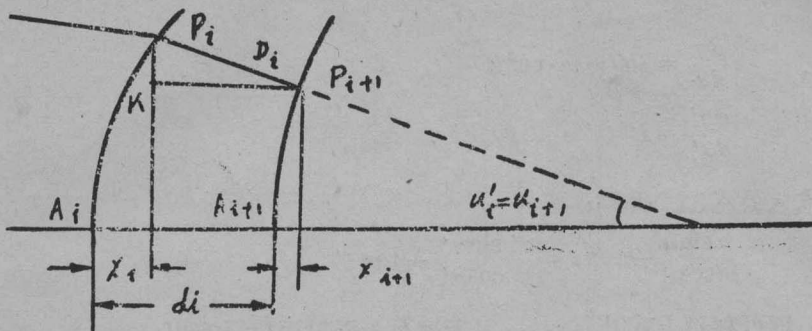


图 (144)

由图(144):

$$D_i = \frac{KP_{i+1}}{\cos u_{i+1}}$$

式中 $KP_{i+1} = d_i + x_{i+1} - x_i$, 代入上式得到:

$$D_i = \frac{d_i + x_{i+1} - x_i}{\cos u_{i+1}}$$

其中 x 按以下公式計算:

$$x = 2R \sin \frac{u' - i'}{2}$$

以上色差公式除了用來計算光學系統的色差而外,也可以根據光學系統消色差的要求,找出最後一個曲率半徑。

設一個包括 K 個折射面的光學系統,除最後一個折射面以外,已經逐個透鏡計算了 $(d_i - D_i)\delta n_i$,並求得其代數和,現在要求按整個系統消色差,或等於預定的色差值 W_{FC} ,來求出最後一個折射面的曲率半徑。若光線通過 $K-1$ 個折射面時,已經用三角計算確定了光線的位置。並知道了各個透鏡的 d_i 、 D_i ,然後利用選定的二條消色差譜線的折射率差 δn_i 代入公式:

$$W_{FC} = \Sigma(d_i - D_i)\delta n_i + (d_{K-1} - D_{K-1})\delta n_{K-1}^*$$

如圖(145),式中 $(d_{K-1} - D_{K-1})\delta n_{K-1}$ 為系統最後一個透鏡的色差,在上式中除 D_{K-1} 外,均為已知,求解得:

$$D_{K-1} = d_{K-1} + \frac{\Sigma(d_i - D_i)\delta n_i - W_{FC}}{\delta n_{K-1}}$$

由上式求得 D_{K-1} 后,根據圖(145)存在下列公式:

$$X_K = D_{K-1} \cdot \cos u'_{K-1} + X_{K-1} - d$$

$$Y_{K-1} = R_{K-1} \sin(u' - i')_{K-1}$$

$$Y_K = Y_{K-1} - D \sin u'_{K-1}$$

根据以上公式求得 X_K 和 Y_K 即可按下式求出最后折射面的半径

$$R_K = \frac{X_K^2}{2X_K} + \frac{1}{2}X_K$$

求得 R_K 以后，可以将光路继续算过第 K 个面，求得全系统的 W_{Fc} ，和原来要求的 W_{Fc} 相比较，可以检验计算结果的正确性。

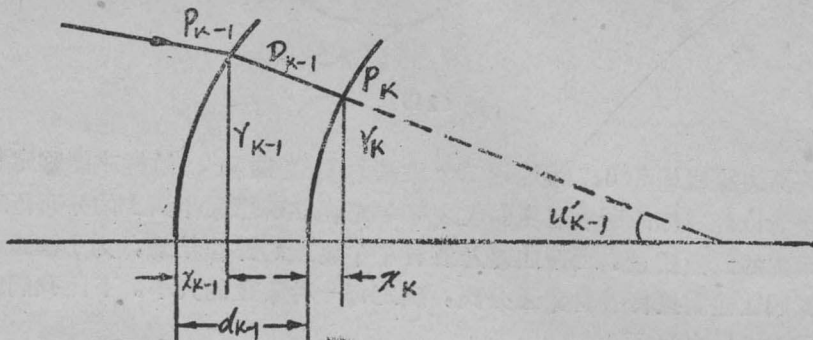


图 (145)

§89 象差的曲线表示：

为了鉴定光学系统的成像质量，通常把由光路计算得到的结果作成象差曲线，计算的光路愈多对于系统的成像质量我们了解得愈清楚，下面我们就把通常所作的象差曲线分别介绍如下。

一、轴上点的象差曲线：为了确定轴上点的成像质量，计算 C 、 D 、 F 三种颜色光束的纵向球差，如图 (146) 所示。

二、细光束的象散曲线：代表轴外物点细光束的成像质量，如图 (147) 所示。

三、畸变和放大率色差曲线，如图 (148) 所示。

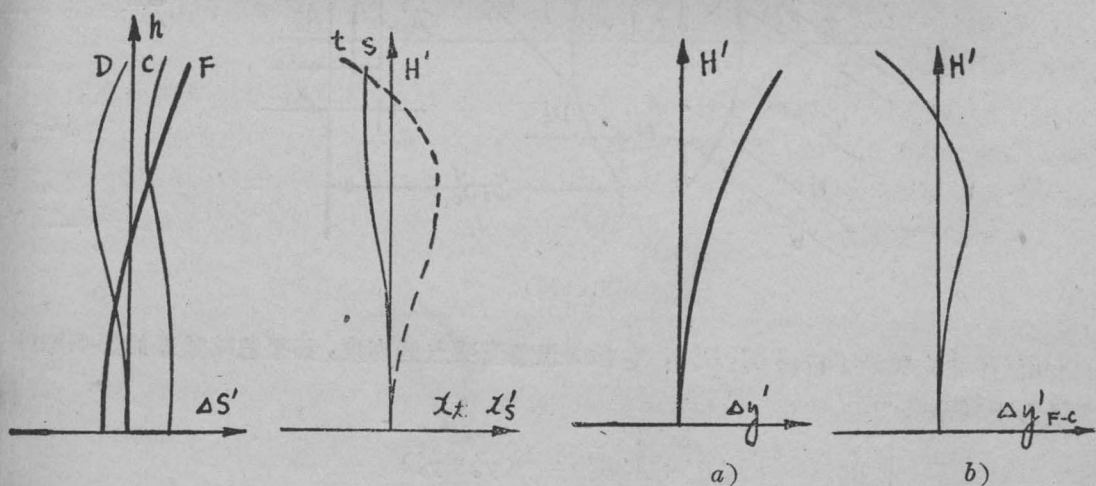


图 (146)

图 (147)

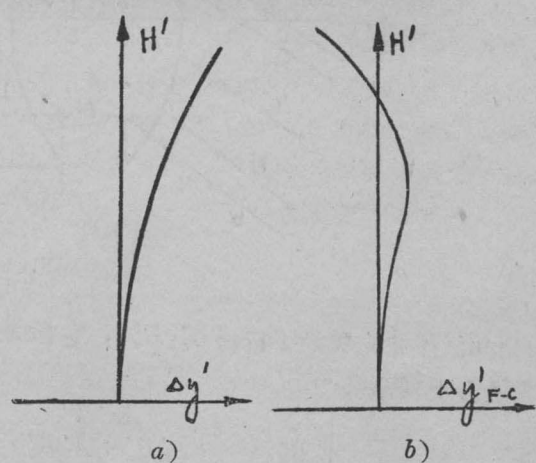


图 (147)

a)

b)

四、斜光束横向球差曲线：它全面的代表了轴外物点，子午面内光束的成像质量，如图 (149) 所示。

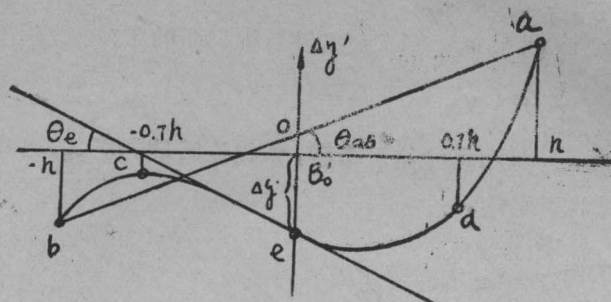


图 (149)

通常需要計算邊緣視場和 0.7 視場這二個象高的象差曲綫，这样才能鑒定整個視場的成象質量，曲綫對應的縱標的所在區間即代表子午光線在理想象平面上的分布範圍。根據它的大小可確定系統的成象質量。上面曲綫乃各種子午象差的綜合結果，為了校正象差，和分析象差的性質我們往往需要將各種象差分離，確定每一種象差的大小。下面我們來證明各種象差和曲綫形狀和位置的關係。

為作出橫向象差曲綫通常至少計算五條光線：主光線 e ；二條全口徑斜光線 a 、 b 和二條 0.7 口徑的光線 c 、 d ，如圖 (150) 中右半部分所示。在圖 (150) 中，左邊作出了 a 、 b 、 e 三條光線的出射光線，假定 a 、 b 光線的交點為 B'_{ab} 。 B'_{ab} 和主光線的距離 $B'_{ab}Q$ 為子午彗差 K'_T 。 B'_{ab} 和理想象面的距離 X'_T 為寬光束的子午象面彎曲。主光線上 t 為細光束的子午象面彎曲。球差為細光束和寬光束象點間的距離，因此 $(x'_T - x'_t)$ 為軸外球差或斜光束球差，以便和軸上點的球差區別。

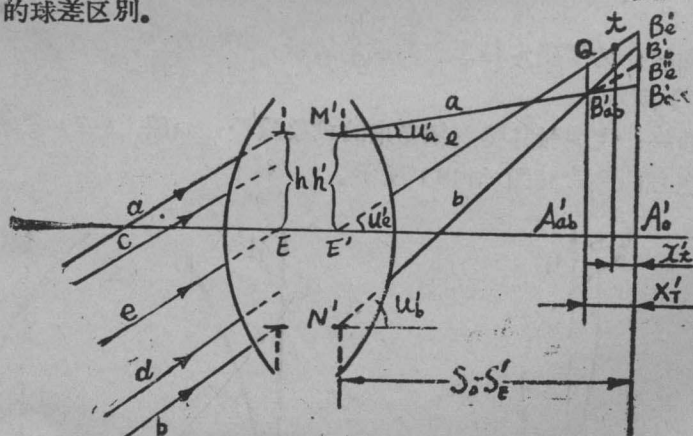


图 (150)

由 B'_{ab} 作主光線的平行線 $B'_{ab}B''_{ab}$ ，它和理想象面交點的高度，如果忽略象差的影響則可視為適合下列關係：

$$A'_0 B''_{ab} = \frac{1}{2} (A'_0 B'_a + A'_0 B'_b) = \frac{1}{2} (y'_a + y'_b)$$

從圖知：

$$K'_T = B'_{ab}Q = A'_0 B''_{ab} - A'_0 B'_e = \frac{1}{2} (y'_a + y'_b) - y'_e$$

或：

$$K'_T = \frac{1}{2} (\Delta y'_a + \Delta y'_b) - \Delta y'_e$$

在象差曲线上作直线联接a、b二点，假定它和纵坐标交于一点O，显然 $OB'_0 = \frac{1}{2} (\Delta y'_a + \Delta y'_b)$ ，由此得到：

$$K'_T = \overline{oe}$$

由 $\Delta M' B'_{ab} N' \sim \Delta B'_a B'_{ab} B'_b$ ，得到：

$$\frac{M' N'}{B'_a B'_b} = \frac{E A'_{ab}}{A'_{ab} A'_0}$$

由图知， $E A'_{ab} = S'_0 - S'_e$ ； $M' N' = 2h'_1$ ； $B'_a B'_b = (y'_a - y'_b) = \Delta y'_a - \Delta y'_b$ ；

$A'_{ab} A'_0 = x'_T$ ，将这些关系代入上式并解出 x'_T ，得到：

$$x'_T = \frac{S'_0 - S'_e}{2h'_1} \cdot (\Delta y'_a - \Delta y'_b)$$

假定入射光瞳平面上的横向放大率为 M_{y_e} ，则 $h'_1 = M_{y_e} h_1$ 代入上式得到：

$$x'_T = \frac{S'_0 - S'_e}{M_{y_e}} \cdot \frac{\Delta y'_a - \Delta y'_b}{2h}$$

由图(12)知 $\frac{\Delta y'_a - \Delta y'_b}{2h}$ 等于ab直线的斜率 $\operatorname{tg} \theta_{ab}$ 。

所以

$$x'_T = K \operatorname{tg} \theta_{ab} \text{，式中 } K = \frac{S'_0 - S'_e}{M_{y_e}}$$

由此可知子午象面弯曲和ab直线的斜率成正比。

当 $h \rightarrow 0$ 时，ab直线变成了象差曲线上e点的切线，同时 x'_T 趋近于 x'_e 。由此得到

$$x'_e = K \cdot \operatorname{tg} \theta_e; K = \frac{S'_0 - S'_e}{M_{y_e}}$$

由上式求解K得到：

$$K = \frac{x'_e}{\operatorname{tg} \theta_e}$$

代入 x'_T 公式，则得：

$$x'_T = x'_e \cdot \frac{\operatorname{tg} \theta_{ab}}{\operatorname{tg} \theta_e}$$

这样我们得到宽光束子午象面弯曲的另一表示式，当我们已知 x'_e ，并且由象差曲线求得 $\operatorname{tg} \theta_{ab}$ 和 $\operatorname{tg} \theta_e$ ，同样可以计算 x'_T 。对于轴外球差同样能以找到：

$$x'_T - x'_e = K(\operatorname{tg} \theta_{ab} - \operatorname{tg} \theta_e) = x'_e \cdot \frac{\operatorname{tg} \theta_{ab} - \operatorname{tg} \theta_e}{\operatorname{tg} \theta_e}$$

显然当e点的切线平行于横轴时， $x'_e = 0$ 。当ab直线通过e点时彗差为零，也就是说曲线对于e点的切线来讲，上下对称。当ab直线和e点的切线平行时，轴外球差为零。这就是说曲线对于e点近似左右对称。根据上面说到曲线的性质，我们可以直接由曲线形状断定各种象差的比重。

在横向象差曲线上，考察光栏位置移动时对于象差的影响，特别明显，移动光栏位置就相当于在曲线上选取不同的部分。

显然当所有光线聚交于一点时，象差曲线变成一条平行于横标的直线。

$$\begin{array}{llll}
 R_1 = 63.1 & d_1 = 5.0 & n_1 = 1.0 & u_1 = 0 \\
 R_2 = -23.9 & d_2 = 2.0 & n_2 = 1.5181 & h_1 = 10 \\
 R_3 = -98.7 & & n_3 = 1.6259 & \\
 & & n_4 = 1.0 &
 \end{array}$$

表(1) 近軸光綫計算:

第一面		第二面		第三面		总 结	
log h ₁	1.0	log h ₂	0.98809	log h ₃	0.98599	log h ₄	0.98599
log(n ₂ -n ₁)	9.71441	log(n ₃ -n ₂)	9.03262	log(n ₄ -n ₃)	9.73650	colog γ ₄	1.00164
colog R ₁	8.19997	colog R ₂	8.62160	colog R ₃	8.00568	log n ₄	0.0
log N ₁	8.91438	log N ₂	8.64231	log N ₃	8.78817	log S' ₀	1.98763
N ₁		N ₂	-0.043884	N ₃	0.06140		
n ₁ u ₁	γ ₁ =0	γ ₂	0.082106	γ ₃	0.038222	S' ₀ =	S' ₀ =97.192
γ ₂	γ ₂ =N ₁	γ ₃	0.038222	γ ₄	0.099622		
log γ ₂	8.91438	log γ ₃	8.58232			log h ₁	1.0
colog n ₂		colog n ₃	9.78891			colog γ ₄	1.00164
log d ₁		log d ₂	0.30103			log n ₄	0.0
log M ₁	9.43205	log M ₂	8.67226			log f' ₀	2.00164
h ₁	10	h ₂	9.7296				
-M ₁	-0.2704	-M ₂	-0.0470				
h ₂	9.7296	h ₃	9.6826			f' ₀ =	f' ₀ =100.379

表(二) 边緣光綫計算: $h_1 = 10, u_1 = 0$

第一面		第二面		第三面		总 结	
		K ₂ +q' ₁	-82 -120.78	K ₃ ' +q' ₂	-72.8 -509.722	R ₃ -q' ₃	-98.7 +200.068
		q ₂	-202.78	q ₃	-582.522	S' ₃	101.268
log h ₁ - colog R ₁	1.0 8.19997	log q ₂ log sin u ₂ colog R ₂	2.30703 8.73670 8.62160	log q ₃ log sin u ₃ colog R ₃	2.76532 8.30661 8.00568	-S' ₀	-97.192
log sin i ₁	9.19997	log sin i' ₂	9.66533	log sin i ₃	9.07761	8S'	8S'=4.076
log n ₁ /n ₂	9.81870	log n ₂ /n ₃	9.97021	log n ₃ /n ₄	0.21109		
log sin q' ₁	9.01867	log sin i' ₂	9.63554	log sin i' ₃	9.28870		
log R ₁ colog sin u ₂	1.86003 1.26330	log R ₂ colog in u ₃	1.37840 1.69339	log R ₃ colog sin u ₄	1.99422 1.01816	colog sin u ₄	1.0 1.01816
log q' ₁	2.08200	log q' ₂	2.70733	log q' ₃	2.30118	log f'	2.01816
-i ₁	9.1185	-i ₂	-27.5636	-i ₃	-6.8671	f'	104.271
i' ₁	-5.9922	i' ₂	25.5981	i' ₃	11.2097	-f' ₀	-100.379
i' ₁ -i ₁	3.1263	i' ₂ -i ₂	-1.9655	i' ₃ -i ₃	4.3426	Δf'	Δf'=3.892
+u ₁	0.0	+u ₂	3.1263	+u ₃	1.1608		
u	3.1263	u ₃	1.1608	u ₄	5.5034		

表(三) 主光綫畸变計算 $S_1 = -30$, $u_1 = \omega_1 = -10^\circ$

第一面		第二面		第三面		总 结	
R ₁	63.1	K ₂	-82	K ₃	-72.8	R ₃	-8.7
-S ₁	30.0	q ₁ '	125.417	q ₂ '	36.1525	-q ₃ '	48.389
q ₁	93.1	q ₂	43.417	q ₃	-36.6475	S' _{PY}	-50.311
log q ₁	1.96895	log q ₂	1.63766	log q ₃	1.56404	-S' _O	-97.192
log sin u ₁	9.23967	log sin u ₂	8.92896	log sin u ₃	8.9786	S' _{PY} - S' _O	-147.503
colog R ₁	8.19997	colog R ₂	8.62160	colog R ₃	8.00568		
log sin i ₁	9.40859	log sin i ₂	9.18822	log sin i ₃	8.54841		
log n ₁ /n ₂	9.81870	log n ₂ /n ₃	9.97021	log n ₃ /n ₄	0.21109	log s' _{PY} - s' _O	2.16880
log sin i ₁ '	9.22729	log sin i ₂ '	9.15843	log sin i ₃ '	8.75950	log tg u ₄	9.07208
log R ₁	1.80003	log R ₂	1.37840	log R ₃	1.99432	log y ₁	1.24088
colog sin u ₂	1.07104	colog sin u ₃	1.02131	colog sin u ₄	0.93093		
log q ₁ '	2.09836	log q ₂ '	1.55814	log q ₃ '	1.68475		
i ₁	14.8452	-i ₂	-8.8733	-i ₃	2.0259	log f' _O - log tg ω ₁	2.00164 - 9.24632
+i ₁ '	-9.7161	i ₂ '	8.2806	i ₃ '	-3.2951	log y ₀ '	1.24796
i ₁ ' - i ₁	5.1291	i ₂ ' - i ₂	-0.5927	i ₃ ' - i ₃	-1.2692		
+u ₁	-10.0	+u ₂	-4.8709	+u ₃	-5.4636	y'	17.4132
u ₂	-4.8709	u ₃	-5.4636	u ₄	-6.7328	-y ₀ '	-17.6996
						Δy'	Δy' = -0.2864

表(四) 緩光束子午场曲計算: $S_1 = -30$; $u_1 = \omega_1 = -10^\circ$; $m_1 = \infty$

第一面		第二面		第三面		总 结	
		K ₂	-82	K ₃	-72.8	m ₃ '	48.389
		+m ₁ '	-113.905	m ₂ '	-416.282	-q ₃ '	-194.518
		m ₂	-195.905	m ₃	-489.082	m ₃ ' - q ₃ '	-146.129
log q ₁		log q ₂	1.63766	log q ₃	1.56404	log m ₃ ' - q ₃ '	2.16474
log tg u ₁		log tg u ₂	8.93053	log tg u ₃	8.98068	log sin u ₄	9.06907
colog m ₁		colog m ₂	7.70796	colog m ₃	7.31062	log cos u ₄	9.99700
log a ₁		log a ₂	8.27615	log a ₃	7.85534	log y ₁ '	1.23081
log sin (i ₁ ' - i ₁)	8.95133	log sin (i ₂ ' - i ₂)	8.01470	log sin (i ₃ ' - i ₃)	8.34537		
colog cos i ₁	0.01474	colog cos i ₂	0.00523	colog cos i ₃	0.00027		
colog cos i ₁ '	0.00628	colog cos i ₂ '	0.00455	colog cos i ₃ '	0.00072	colog tg u ₄	0.92792
log b ₁	8.97235	log b ₂	8.02448	log b ₃	8.34636	log p ₁ '	2.15873
a ₁	a ₁ = 0	a ₂	0.0188865	a ₃	-0.007167	-p ₁ '	144.123
+b ₁		+b ₂	-0.0105798	+b ₃	-0.0222005	S' _{PY} - S' _O	-147.503
c ₁	c ₁ = b ₁	c ₂	0.0083067	c ₃	-0.0293675	x ₁ '	x ₁ ' = 3.380
log q ₁	2.09836	log q ₂ '	1.55814	log q ₃ '	1.68475		
log tg u ₂	8.93053	log tg u ₃	8.98068	log tg u ₄	9.07208		
colog c ₁	1.02765	colog c ₂	2.08057	colog c ₃	1.53213		
log m ₁ '	2.05654	log m ₂ '	2.61939	log m ₃ '	2.28896		